



متوفرة على الموقع: <http://www.basra-sciencejournal.org>



ISSN -1817 -2695

عزل و تشخيص مركبات حامض الكافائيك و يوجينول و فينول- 2 - ميثوكسي - 3 - (2 - بروبيثيل) من ثمار نبات الخرنوب و دراسة فعاليتها كأدوية مضادة للبكتريا المرضية للمجري البولية

عباس دواس مطر المالكي ونزار لطيف شهاب الدين وهشام مناحي طالب الريحاني
قسم الكيمياء - كلية التربية - جامعة البصرة
البصرة - العراق

الاستلام 26-7-2011، القبول 15-11-2011

المستخلص

عزلت وشخصت بعض المركبات الفينولية وهي حامض الكافائيك و يوجينول و فينول-2- ميثوكسي-3- (2- بروبيثيل) من ثمار نبات الخرنوب. واستعملت الطرائق الفيزيائية والكيميائية للتشخيص وهي طيف الأشعة المرئية وفوق البنفسجية و طيف الأشعة تحت الحمراء ومطيافية الكتلة المعتمدة على كروماتوغرافيا الغاز وتقنية كروماتوغرافيا الطبقة الرقيقة وكروماتوغرافيا العمود و كشف المجاميع الفعالة و درجة الإنصهار. تم دراسة الفعالية الدوائية لهذه المركبات المعزولة بتركيز (150 mg/ml) ضد خمسة أنواع من البكتريا المرضية المسببة لإلتهابات المجري البولية وهي *Escherichia coli* و *Staphylococcus aureus* و *Proteus sp.* و *Klebsiella sp.* و *Pseudomonas aeruginosa* وحدد التركيز المثبط الأدنى و السمية الخلوية لهذه المركبات و أيضاً تم مقارنة التأثير الدوائي للمركبات الفينولية المعزولة مع بعض المضادات الحيوية و هي الأمبيسيلين و الكفلاكسين و السيبروفلوكساسين و الستربتومايسين و النتراسايكلين إذ أظهرت المركبات المعزولة أنها ذات تأثير دوائي واضح في تثبيط نمو البكتريا مقارنة مع تأثير هذه المضادات الحيوية ولوحظ أنه ليس هناك تأثير سمي ضد كريات الدم الحمر للإنسان، وعليه فإنه يوصى بإمكانية استعمال المركبات الفينولية المعزولة كبديل دوائي عشبية لعلاج التهابات المجري البولية بدلاً من المضادات الحيوية المستعملة ذات التأثيرات الجانبية لكن هذا العمل يتطلب المزيد من الدراسات السريرية و الصيدلانية.

الكلمات المفتاحية: نبات الخرنوب ،حامض الكافائيك،فينول-2-ميثوكسي-3-(2-بروبيثيل)،يوجينول، الفعالية الدوائية،البكتريا المرضية،التهابات المجري البولية.

*البحث مستل من رسالة الماجستير للباحث الثالث .

المقدمة

المرضية ضد الأدوية المصنعة معملياً و التي تؤدي إلى ظهور مشاكل سريرية إذ ظهرت في الآونة الأخيرة جراثيم ذات مقاومة متعددة للمضادات الحياتية [8]. كما أن الكثير من الأدوية المصنعة لا تزال تفتقر إلى المعلومات الدقيقة حول أعراضها الجانبية البعيدة الأمد و التي تؤدي إلى حالات خطيرة. و كذلك لا يمكن طرح بعض العقاقير بسهولة خارج الجسم إذ تترسب في الكبد على شكل سموم [9]. أن الفينولات هي مركبات أروماتية تحمل مجموعة هيدروكسيل واحدة أو أكثر و لها خواص ضد مايكروبية و هناك أصناف عديدة من المركبات الفينولية مثل التانينات و الفلافونيدات و الزانثونات و الأحماض الفينولية البسيطة و الليكنينات و الكيومارينات و تنتج الفينولات في النباتات عن طريق الأيض الثانوي لحامض الشكيميك و ذلك عند تعرض النبات لإصابة جرثومية أو فيروسية [10]. و يعد نبات الخرنوب *Prosopis farcta* واحداً من النباتات الطبية المعمرة الذي لم يحظ بالإهتمام الكبير من الباحثين إلا ببعض الدراسات المحلية و العالمية، و قد أكدت بعض الدراسات على أهمية هذا النبات فقد تم دراسة تأثير المستخلصات الكيميائية المعزولة منه على حالة إرتفاع السكر في الدم [11]، و درست التأثيرات الضد مايكروبية للسكوتربين لاكتون المعزول من هذا النبات [12]، كما تم دراسة تأثير المستخلصات الفعالة للخرنوب على القلب و الأوردة ، كما وجد بأن لمستخلصات بذور هذا النبات تأثيراً تثبيطياً ضد بعض الفطريات [13].

و لهذا جاءت هذه الدراسة متضمنة عزل ثلاثة مركبات فينولية من ثمار نبات الخرنوب و دراسة فعاليتها الدوائية ضد البكتريا المرضية المسببة لإلتهابات المجاري البولية و بالتالي إيجاد بدائل دوائية عشبية متوفرة رخيصة الثمن لعلاج هذه الحالة المرضية و إستعمالها بدلاً من المضادات الحياتية المعروفة ذات التأثيرات الجانبية.

يتعرض الجهاز البولي إلى العديد من الحالات المرضية التي تسبب الإلتهابات. و إن من أهم أسباب الإلتهابات المجاري البولية هي الإصابة بالبكتريا المرضية التي تدخل إلى القنوات البولية و التي تؤدي إلى الإخلال في الأداء الوظيفي لها [1] إذ تصاب المثانة بهذه البكتريا الممرضة و تسبب إتهابها و يمكن أن تمتد الإصابة إلى الكليتين مؤدية إلى الإلتهاب الكلوي الحويضي و الذي يكون غالباً مزمنياً و يسبب الفشل الكلوي [2]. و أن من أهم أنواع البكتريا الشائعة التي تسبب إتهابات المجاري البولية هي *Proteus sp.* و *Escherichia coli* و *Klebsiella sp.* و *Pseudomonas aeruginosa* [3].

ان مقاومة هذه البكتريا للمضادات الحياتية المستعملة تعني عدم قدرة المضاد الحياتي على أداء عمله في قتل هذه البكتريا و بالتالي عدم علاج الأمراض الجرثومية المختلفة [4]. و تكون المقاومة التي تبديها الأحياء المجهرية بما فيها البكتريا على نوعين و هي مقاومة داخلية *Endogenous resistance* و هي تحدث عن طريق تحويل مركز هدف المضاد الحيوي في الكائن المجهري من خلال الطفرات الجينية إذ يقوم هذا الكائن بتغيير الموقع المستهدف من المضاد الحياتي، و مقاومة خارجية *Exogenous resistance* و تحدث عن طريق إختزال النفاذية الخلوية و ذلك بتقليل نفاذية العلاج و زيادة ضخه إلى خارج الخلية البكتيرية [5]. كما أنه بالإمكان تحطيم المضاد الحياتي من خلال إنتاج بعض الإنزيمات الخاصة لتثبيط عمل هذا المضاد الحياتي [6]. كما أن التقدم الحاصل في الكيمياء العضوية قد فتح الباب لتصنيع العديد من المركبات الكيميائية كأدوية و لكن بسبب الآثار الجانبية الضارة لكثير من هذه الأدوية فقد استعملت النباتات الطبية كبديل [7]، لأسباب كثيرة منها المقاومة التي تبديها الأحياء المجهرية

المواد و طرق العمل

نبات الدراسة

جففت بالظل ثم طحنت و وضعت في قناني بلاستيكية معتمة و معقمة و محكمة الغطاء، و حفظت في الثلاجة بدرجة حرارة 5° م لحين الإستعمال.

Escherichia coli., *Staphylococcus aureus.*, *Proteus sp.*, *Klebsiella sp.*
Pseudomonas aeruginosa.

و تم التأكد من تشخيص العزلات البكتيرية السريرية في مختبر أبحاث البكتريا في قسم علوم الحياة - كلية التربية في جامعة البصرة.

جمعت ثمار نبات الخرنوب *Prosopis farcta* من المزارع الواقعة في ناحية عز الدين سليم ا شمالي محافظة البصرة - العراق في شهر حزيران 2008، و غسلت بماء الإسالة ثم الماء المقطر بعد ذلك

العزلات البكتيرية المستعملة

تم الحصول على العزلات البكتيرية الآتية من ادرار بعض الأشخاص المصابين بالتهابات المجاري البولية في مستشفى الفيحاء العام في محافظة البصرة، و هي:

الأوساط الزرعية المستعملة

Muller Hinton Agar و

استعملت الاوساط Nutrient Broth

الزرعية وهي

و قد تم تحضيرها طبقاً للمعلومات المعينة من

قبل شركة التصنيع .

عزل المركبات الفينولية من مسحوق ثمار نبات الخرنوب

5) على التوالي كطور متحرك وشخصت البقع بوساطة بخار اليود و مصباح الأشعة فوق البنفسجية و كلوريد الحديدك (1%). تم حساب معامل الإنسيابية (R_f) لكل بقعة [15].

فصل المركبات الفينولية لثمار الخرنوب بإستعمال كروماتوغرافيا العمود

تم فصل المركبات الفينولية عن بعضها البعض بإستعمال تقنية العمود و ملئ بمستحلب هلام السليكا C_{60} و أستعمل (n- بيوتانول - حامض الخليك - ماء مقطر) بنسبة (4 : 1 : 5) كسائل مفرق ثم أضيف مزيج الفينولات المعزولة المذابة بمحلول السائل المفرق بهدوء الى العمود و كان معدل سريان المذيب هو 0.6 مل/دقيقة ، جمعت العينات المفصولة من نهاية العمود بأنابيب إختبار و أختبرت مكونات كل عينة بإستعمال TLC و جمعت المركبات ذات معامل الأنسياب (R_f) المتشابهة معاً ضمن مجموعة واحدة، بخرت المذيبات ثم جففت العينات و حفظت في الثلاجة [16]

التشخيص بمطيافية الأشعة فوق البنفسجية و

المرئية

سجل طيف الأشعة فوق البنفسجية و المرئية للمركبات الفينولية التي تم فصلها بتقنية كروماتوغرافيا

أضيف 50 غم من مسحوق الثمار منزوع الدهن إلى 250 مل من محلول حامض الهيدروكلوريك (2% V/V)، وضع المزيج في حمام مائي بدرجة 60° م لمدة 8 ساعات، بعد ذلك رشح المزيج بإستعمال جهاز الترشيح تحت الضغط المخزل، أهمل الراسب و قيس حجم الراشح ثم أضيف إليه بقدر حجمه ثنائي أثيل إيثر و ترك المزيج في حمام مائي مرة أخرى بدرجة 35° م و لمدة 5 دقائق ، ثم بخر المذيب و ركز الراشح بواسطة جهاز المبخر الدوار و كانت الحصيصة هي المركبات الفينولية بوزن 4.75غم [14].

فصل المركبات الفينولية لثمار الخرنوب بتقنية كروماتوغرافيا الطبقة الرقيقة

أستعملت تقنية كروماتوغرافيا الطبقة الرقيقة في فصل المركبات الفينولية و بإستعمال المذيب (n- بيوتانول - حامض الخليك - ماء مقطر) بنسبة (4 : 1 :

الفعالية الدوائية مع فعالية المضادات الحياتية مثل الأمبيسليلين و الكفلاكسين و السيبروفلاكسين و الستربتومايسين و التتراسايكلين.

تقييم الفعالية الدوائية للمركبات الفينولية المفصولة بتقنية (كروماتوغرافيا العمود) ضد البكتريا المرضية للمجاري البولية

أتبعت طريقة الانتشار في الاكار السابقة الذكر و لكن باستعمال كل مركب مفصول على حدة و بتركيز (150 ملغم/مل) و دراسة الفعالية الدوائية ضد البكتريا المذكورة [17].

دراسة التركيز المثبط الأدنى لمزيج المركبات الفينولية المعزولة

أختبر مزيج المركبات الفينولية الذي أعطى أعلى فعالية ضد البكتريا المرضية للمجاري البولية لغرض تحديد التراكيز المثبطة الدنيا ضد البكتريا المدروسة، إذ تم إنماء البكتيريا في الوسط الغذائي الصلب Nutrient broth لمدة 6 ساعات، بعد ذلك أخذ 0.1 مل من العالق البكتيري الحاوي على 1×10^6 خلية بكتيرية /مل، وضعت على طبق شلال قطرات على سطح أطباق الأكار الحاوية على التراكيز (0.5، 1، 3، 5، 10، 15، 20، 25، 35، 40 ملغم/مل) من مزيج المركبات الفينولية و وضعت الأطباق بدرجة 37 م لمدة 24 ساعة [18].

تحديد السمية الخلوية لمزيج المركبات الفينولية المعزولة

تم تحديد السمية الخلوية لمزيج المركبات الفينولية المعزولة من ثمار نبات الخرنوب، إذ حضرت سلسلة من التراكيز و ذلك بإذابة 2.0 غم من المركبات الفينولية في 10 مل من محلول رينكر ثم خففت بنسب (1:1، 1:10، 1:100، 1: 1000 V\V). أستعمل معامل سيطرة سالب يحتوي على محلول رينكر Normal saline و معامل سيطرة موجب يحتوي على ماء الإساله ثم وضع 0.8 مل من كل تركيز في أنبوبة إختبار معقمة من نوع Eppendorf tube تحتوي على مادة مانعة للتخثر و أضيف لكل أنبوبة 0.2 مل من الدم

العمود، و لمدى من الأطوال الموجية تتراوح بين (200-800 nm) بواسطة جهاز مطيافية الأشعة فوق البنفسجية و المرئية و باستعمال خلايا الكوارتز.

التشخيص بمطيافية الأشعة تحت الحمراء

سجل طيف الأشعة تحت الحمراء لكل مركب فينولي تم فصله بتقنية كروماتوغرافيا العمود و ذلك إستعمال جهاز مطيافية الأشعة تحت الحمراء و ذلك إستعمال بروميد البوتاسيوم على شكل قرص (KBr disc) - و كلوريد الصوديوم على شكل قرص (NaCl - disc) أيضاً و كان المدى الطيفي بين (500 - 3500) سم⁻¹.

التشخيص بجهاز كروماتوغرافيا الغاز - طيف الكتلة

تم فصل و تشخيص مزيج المركبات الفينولية المعزولة من ثمار نبات الخرنوب باستعمال تقنية كروماتوغرافيا الغاز - طيف الكتلة (GC- mass) في مختبرات جامعة آل البيت في المملكة الأردنية الهاشمية.

قياس درجة الإنصهار

تم قياس درجة الإنصهار للمركب الفينولي (A*) المعزول من ثمار نبات الخرنوب باستعمال جهاز قياس الإنصهار.

تقييم الفعالية الدوائية لمزيج المركبات الفينولية المعزولة من ثمار نبات الخرنوب ضد البكتريا المرضية للمجاري البولية.

أستعملت طريقة الإنتشار بالأكار Agar well diffusion و ذلك بصب 20 مل من الوسط الزرعي Muller Hinton Agar لكل طبق زجاجي ثم لقع الوسط بـ 0.1 مل من العالق البكتيري ذو الكثافة الضوئية 0.1 بطول موجي 450 نانومتر باستعمال جهاز المطياف الضوئي و ذلك بواسطة ناشر زجاجي معقم، بعد ذلك تركت الأطباق لمدة (15 - 30) دقيقة، ثم عملت حفر باستعمال ثاقب معدني و أضيف 0.1 مل من مستخلص مزيج المركبات الفينولية بتركيز (25، 50، 100، 150 ملغم/مل) في هذه الحفر، حضنت الأطباق بدرجة حرارة 37 م لمدة 24 ساعة. قيست أقطار منطقة التثبيط لجميع أنواع البكتريا [17]. و تمت مقارنة

بسرعة (3000 rpm) وأخيراً فحصت الأنابيب لملاحظة التحلل الدموي و سجلت النتائج [19].

ليصبح الحجم لكل أنبوبة هو 1 مل، بعد ذلك حضنت الأنابيب في الحاضنة بدرجة حرارة 37 م لمدة نصف ساعة ثم أجريت عملية الطرد المركزي لمدة 5 دقائق

النتائج و المناقشة

نتائج عزل المركبات الفينولية من نبات الخرنوب

ثمار الخرنوب في منطقة نابل هي 3.1% أما في منطقة قابس فكانت 3.9% و يعود السبب في ذلك إلى أن نسب الإستخلاص المئوية للمركبات الفعالة في أي نبات تختلف باختلاف البيئة التي يعيش فيها ذلك النبات [20].

أن نسبة الإستخلاص التي تم الحصول عليها (9.5%) هي أعلى مما وجد في دراسة أخرى حول تأثير الموقع الجغرافي على نسب المركبات الكيميائية الفعالة في نبات الخرنوب في موقعين مختلفين من جمهورية تونس، إذ كانت نسبة المركبات الفينولية في

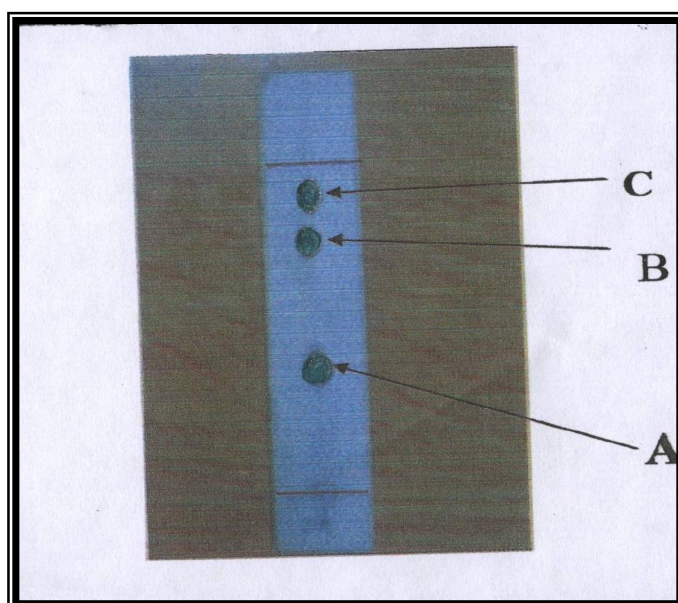
نتائج فصل المركبات الفينولية بتقنية كروماتوغرافيا الطبقة الرقيقة

تم الإشارة إليها بالرموز A و B و C و بمعدلات سريان (R_f) هي 0.84 و 0.73 و 0.41 على التوالي .

يوضح الجدول (1) و الشكل (1) فصل المركبات الفينولية من ثمار نبات الخرنوب بتقنية كروماتوغرافيا الطبقة الرقيقة إذ تبين أن هناك ثلاثة بقع

جدول (1) فصل المركبات الفينولية بتقنية كروماتوغرافيا الطبقة الرقيقة (TLC)

مذيب التصعيد	الإختبار	المركبات الفينولية	معدلات السريان (R _f)	الإستنتاج
		A , B , C		
n-بيوتانول - حامض الخليك - ماء مقطر (5 : 1 : 4)	العين	Light green	A= 0.41 B= 0.73 C= 0.84	مركبات نقية
	بخار ليود	Brown	A= 0.41 B= 0.73 C= 0.84	مركبات عضوية
	مصباح UV	Light Violet	A= 0.41 B= 0.73 C= 0.84	وجود نظام تعاقب الأصرة المزدوجة
	FeCl ₃ (1%)	Bluish green	A= 0.41 B= 0.73 C= 0.84	وجود المركبات الفينولية



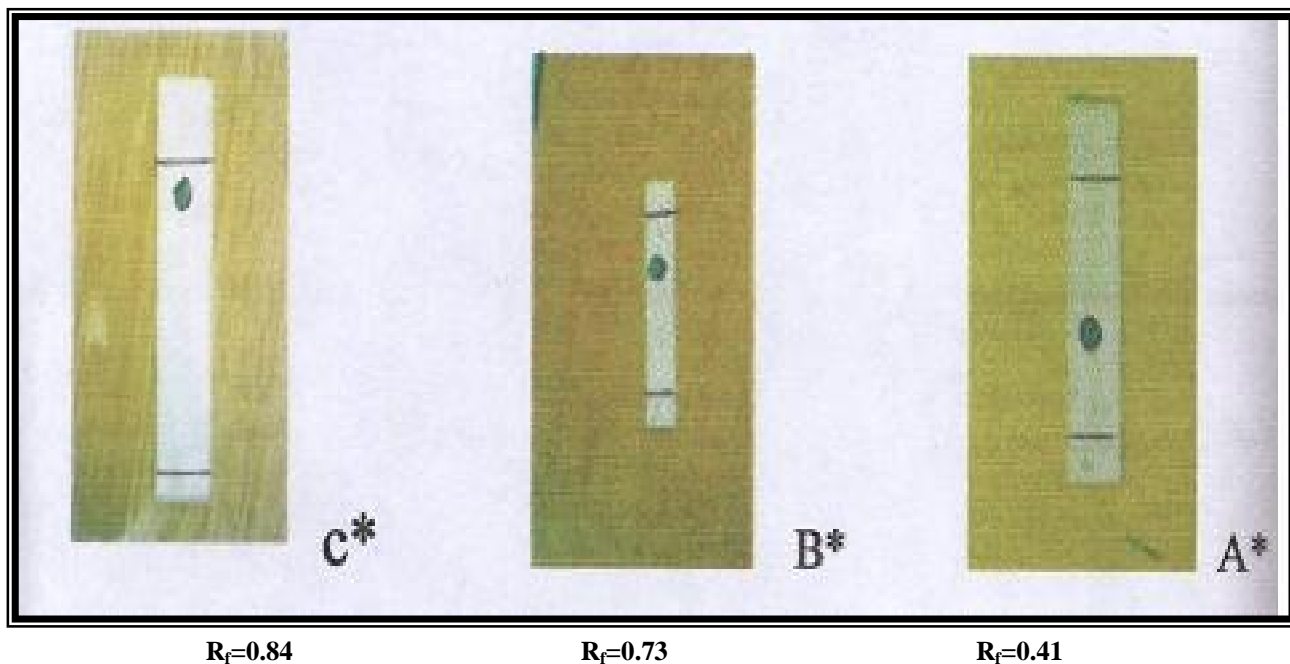
شكل (1) نتائج كروماتوغرافيا الطبقة الرقيقة لمزيج المركبات الفينولية

نتائج فصل مزيج المركبات الفينولية بتقنية كروماتوغرافيا العمود

يوضح الجدول (2) نتائج فصل المركبات بتقنية كروماتوغرافيا العمود إذ تم الحصول على ثلاثة مركبات بصورة نقية أشير إليها (C*, B*, A*) و قد تم التأكد من المركبات المفصولة بإستعمال تقنية كروماتوغرافيا الطبقة الرقيقة و كانت قيم معدلات السريان لهذه البقع هي (0.41 و 0.73 و 0.84) على التوالي، و من خلال مقارنة القيم التي تم الحصول عليها

جدول (2) قيم معامل السريان المقاسة بتقنية TLC للمزيج المفصول بالعمود

مزيج المركب الفينولي	قيمة معامل السريان R_f
A*	0.41
B*	0.73
C*	0.84



شكل (2) TLC للمركبات (A*, B*, C*) المفصولة بتقنية العمود وقيم R_f التابعة لها .

الفعالية الدوائية لمزيج المركبات الفينولية المعزولة بتركيز (150 mg/ml) ضد البكتريا المرضية للمجري البولية أعطى التركيز (150) ملغم/مل أعلى فعالية من جميع التراكيز المستعملة لذا تم إعتماده في الدراسة، يوضح الجدول (3) أن المركبات الفينولية المعزولة من ثمار نبات الخرنوب لها فعالية عالية ضد البكتريا *Escherichia coli* و *Staphylococcus aureus* و *Pseudomonas aeruginosa* و *Klebsiella sp.* إذ أعطت أقطار تثبيط قيمته (20, 25, 29, 34) ملم على التوالي و فعالية متوسطة بقطر تثبيطي (18) ملم ضد بكتريا *Proteus sp.* و يعود السبب في الفعالية العالية للتثبيط أن المركبات الفينولية المعزولة تتميز بقدرتها على الإرتباط مع المواقع الفعالة للإنزيمات و

بالفينولات القدرة على تكوين أوامر هيدروجينية مع بروتينات الغشاء الخلوي مما يؤدي إلى تحطيمه و تغيير نفاذيته و كذلك الحال لبقية البروتينات في الكائن المجهرى [22].

تنشيط عملها عن طريق تكوين أوامر هيدروجينية بين مجاميع الهيدروكسيل المرتبطة بالحلقات الأروماتية و مجاميع الكبريت للإنزيم الخلوي مما يؤدي إلى تغير طبيعة الإنزيمات و ترسيبها و فقدان وظيفتها [21] إضافة إلى ذلك فأن للمجاميع الهيدروكسيلية المرتبطة

جدول (3) نتائج الفعالية الدوائية لمزيج المركبات الفينولية بتركيز (150 mg/ml) ضد البكتريا المرضية للمجاري البولية

البكتريا	أقطار منطقة التثبيط (mm)				
	<i>Staph. aureus</i>	<i>E. coli</i>	<i>P. aeruginosa</i>	<i>Klebsiella sp.</i>	<i>Proteus sp.</i>
المركبات المعزولة					
الفينولات	29	34	25	20	18

نتائج التركيز المثبط الأدنى للمركبات الفينولية المعزولة ضد البكتريا المرضية للمجاري البولية

(5 ملغم/مل) و قد سجل ضد بكتريا *Escherichia coli* بينما كانت قيم MIC لبكتريا *Staphylococcus aureus* و *Pseudomonas aeruginosa* و *Klebsiella sp.* هي (15 و 15 و 20 ملغم/مل) على التوالي. و يتبين من الجدول (4) أن المركبات الفينولية المعزولة من ثمار نبات الخرنوب التي لها فعالية تثبيطية عالية ضد بكتريا معينة يكون تركيزها المثبط الأدنى واطئا و العكس صحيح.

لقد أوصت منظمة الصحة العالمية (WHO) بتعيين التركيز المثبط الأدنى (MIC) لكل مادة معزولة من النباتات الطبية. إن التركيز المثبط الأدنى هو أقل تركيز من المادة المعزولة له القدرة على تثبيط نمو البكتريا المرضية [12]. لقد أظهرت النتائج في الجدول (4) أن أعلى تركيز مثبط هو (35 ملغم/مل) و قد سجل ضد بكتريا *Proteus sp.* في حين كان أقل تركيز مثبط هو

جدول (4) نتائج التراكيز المثبطة الدنيا لمزيج المركبات الفينولية المعزولة من ثمار نبات الخرنوب ضد بكتريا التهابات للمجاري البولية

البكتريا	قيم التركيز المثبط الأدنى (ملغم/مل)				
	<i>E. coli</i>	<i>Staph. aureus</i>	<i>P. aeruginosa</i>	<i>Klebsiella sp.</i>	<i>Proteus sp.</i>
تركيز المركبات المعزولة					
الفينولات	5	15	15	20	35

تحديد السمية الخلوية لمزيج المركبات الفينولية المعزولة من ثمار نبات الخرنوب

يوضح الجدول (5) نتائج التحلل الدموي لتحديد قيمة السمية الخلوية. و يظهر من الجدول بأن مزيج المركبات الفينولية التراكيز (0.2، 2، 20، 100

ملغم/مل) المعزولة من ثمار نبات الخرنوب لم يظهر أي سمية ضد كريات الدم الحمر للإنسان.

جدول (5) نتائج السمية الخلوية للمركبات الفينولية ضد كريات الدم الحمر للإنسان

تركيز المركبات الفينولية (mg/ml)	التحلل الدموي
0.2	-
2	-
20	-
100	-

- تعني عدم وجود تحلل لكريات الدم الحمر

إن إختبار السمية الخلوية يعد أحد أهم الإختبارات الواجب إجراؤها على المركبات المحضرة

مقارنة الفعالية الدوائية لمزيج المركبات الفينولية مع فعالية بعض المضادات الحياتية

يوضح الجدول (6) الفعالية الدوائية للمركبات الفينولية المعزولة من ثمار نبات الخرنوب ضد البكتريا المرضية للمجري البولية مع فعالية المضادات الحياتية (الأمبيسيلين و الكفلاكسين و السيبروفلاكسين و الستربتومايسين و التتراسايكلين) . لقد أعطت المركبات الفينولية بالتركيز (150 ملغم/مل) أقطار تثبيط هي (34 و 29 و 18 و 25 و 20 ملغم) ضد البكتريا المرضية (*Staphylococcus aureus* و *E. coli* و *Proreus* و *Klebsiella* و *Pseudomonas aeruginosa* و *sp.*) على التوالي. لقد أظهرت البكتريا المرضية جميعها مقاومة ضد المضادين الحياتيين (الأمبيسيلين و الكفلاكسين) في حين كانت أقطار التثبيط للمضاد الحياتي السيبروفلاكسين ضد بكتريا (*Staphylococcus aureus* و *E. coli* و *Proreus* و *sp.* و *Pseudomonas aeruginosa*) هي (24 و 34 و 27 و 29 ملغم) على التوالي بينما أظهرت بكتريا *Klebsiella* *sp.* مقاومة ضد المضاد الحياتي

السيبروفلاكسين. سجلت أقطار التثبيط للستربتومايسين ضد بكتريا (*Staphylococcus aureus* و *E. coli* و *Pseudomonas aeruginosa*) حيث كانت (12 و 17 و 22 ملغم) على التوالي في حين كانت هناك مقاومة من بكتريا *Proreus* *sp.* و *Klebsiella* *sp.* تجاه المضاد الحياتي الستربتومايسين. بينت النتائج أيضاً أن التتراسايكلين من أقطار أعطى فعالية تثبيطية ضد بكتريا (*Staphylococcus aureus* و *E. coli* و *Pseudomonas aeruginosa* و *Klebsiella* *sp.*) وبأقطار تثبيط هي (32 و 24 و 28 و 32 ملغم) على التوالي في حين لم تستجب البكتريا *Proreus* *sp.* لهذا المضاد الحياتي

جدول (6) الفعالية الدوائية لمزيج المركبات الفينولية المعزولة من ثمار نبات الخرنوب مقارنة بفعالية المضادات الحياتية ضد البكتريا المرضية للمجري البولية

المركبات المعزولة و المضادات الحياتية	التركيز mg/ml	أقطار منطقة التثبيط (mm)				
		<i>Staph. aureus</i>	<i>E. coli</i>	<i>Proteus</i> sp.	<i>P. aeruginosa</i>	<i>Klebsiella</i> sp.
الفينولات	150	34	29	18	25	20
أمبيسيلين	0.01	0	0	0	0	0
كفلاكسين	0.03	0	0	0	0	0
سيبروفلاكسين	0.005	24	34	27	29	0
ستربتومايسين	0.01	12	17	0	22	0
تتراسايكلين	0.03	32	24	0	28	32

يتضح من الجدول (6) إن الفعالية الدوائية لمزيج المركبات الفينولية المعزولة من ثمار نبات الخرنوب قد تفوقت على الفعالية الدوائية للمضادات الحياتية و ذلك لأن المركبات الفينولية قد أعطت فعالية

synergistic interaction لهذه المركبات [23 ، 24]. و من خلال هذه الميزة التي تمتلكها المركبات الفينولية، فإنه يمكن إستعمال هذه المركبات مجتمعة أو منفردة كدواء طبيعي لعلاج التهابات المجاري البولية بدلاً من المضادات الحياتية المستعملة ذات التأثيرات الجانبية .side effects

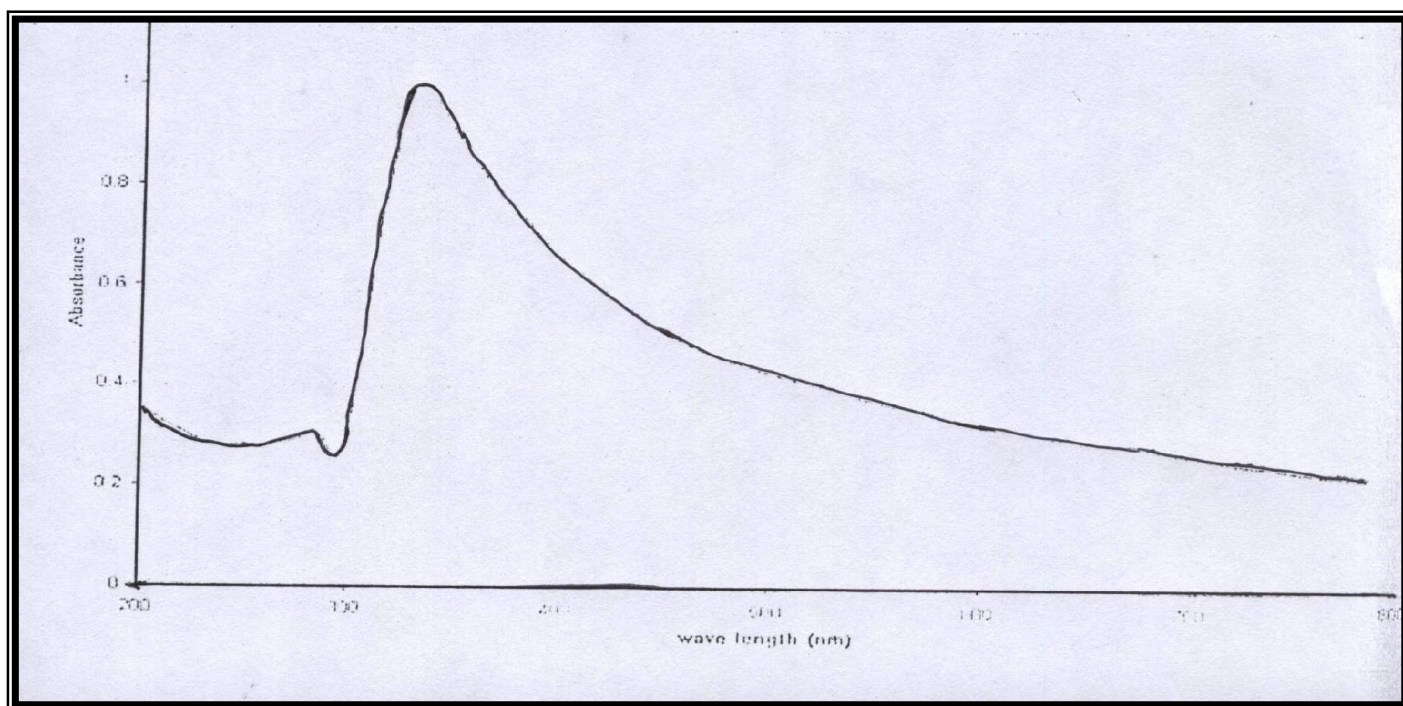
التي تعزى إلى الإنتقال الإلكتروني من نوع ($\pi-\pi^*$) الذي يعود إلى إلكترونات π في الحلقة الأروماتية. والحزمة الثانية ظهرت عند الطول الموجي (327 nm) وكانت ذات شدة عالية وتعزى إلى الإنتقال الإلكتروني من نوع ($\pi-\pi^*$) الذي يعود إلى وجود نظام تعاقب ($C=C-C=O$) أو قد يعزى إلى الإنتقال الإلكتروني نوع ($n-\pi^*$) الذي يعود إلى المزدوج الإلكتروني غير التآصري على ذرة الأوكسجين العائدة إلى مجموعة الكربوكسيل الحامضية [25].

تنشيطية ضد جميع أنواع البكتريا المرضية أي أن هذه البكتريا لم تظهر أي مقاومة تجاه هذه المركبات بينما كانت هناك مقاومة لجميع أنواع البكتريا المرضية ضد المضادين الحياتيين (الأمبيسيلين و الكفلاكسين) و مقاومة أبدتها بكتريا *Proteus sp.* ضد كل من الستربتومايسين و التتراسايكلين. أن الكفاءة العالية للفعالية الدوائية للمركبات الفينولية يعزى إلى فعل التداخل التآصري نتائج قياس درجة الإنصهار للمركب A*

تم قياس درجة الإنصهار للمركب الفينولي المعزول A* و وجد أنها في المدى الواقع ما بين 223 (225 - م) و تبين بأن المركب المعزول هو مركب نقي تماماً.

تشخيص المركب الفينولي A* بمطيافية الأشعة فوق البنفسجية و المرئية

يبين الشكل (3) طيف الأشعة فوق البنفسجية و المرئية للمركب الفينولي A* و بمدى من الأطوال الموجية (200 - 800 nm) إذ ظهرت حزمتان الأولى عند الطول الموجي (295 nm) ذات الشدة الواطئة. و

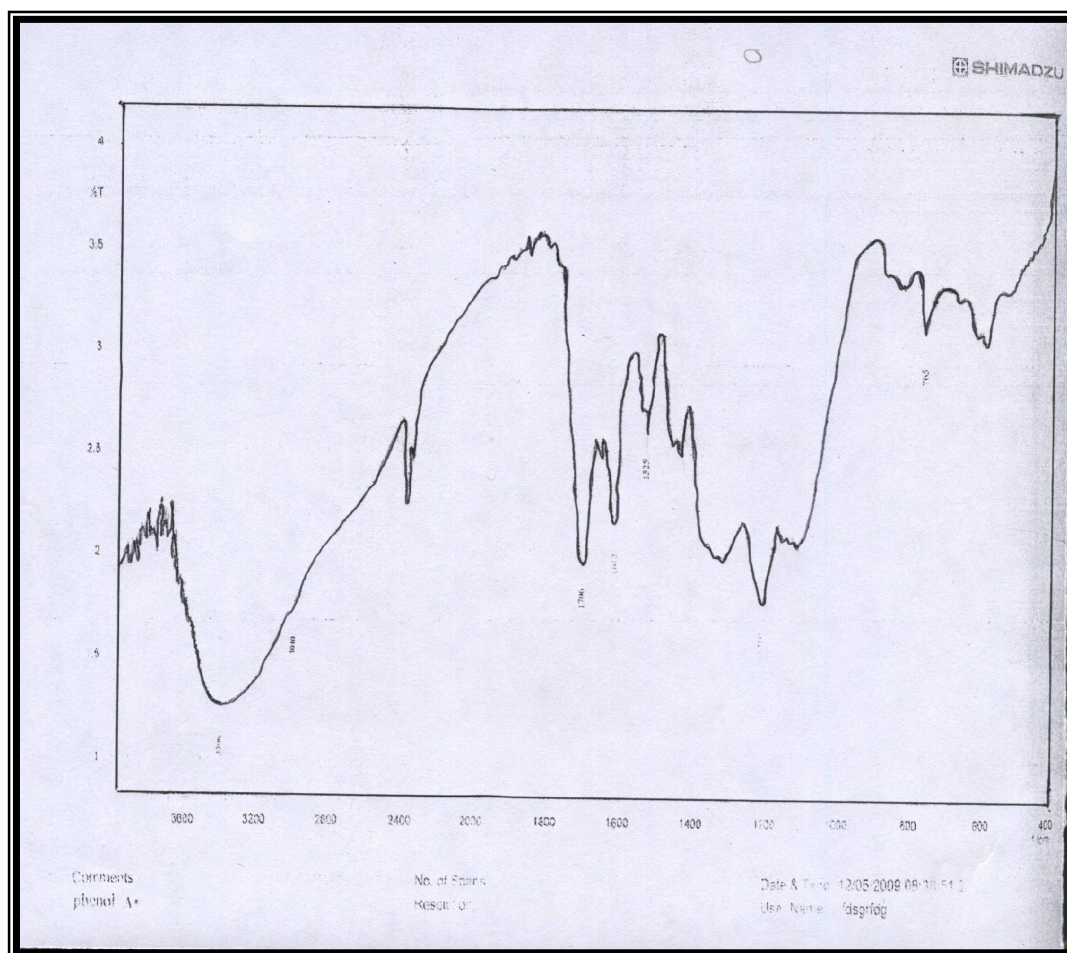


شكل (3) طيف الأشعة فوق البنفسجية و المرئية (UV - Vis) للمركب الفينولي A*

تشخيص المركب الفينولي A* بمطيافية الأشعة تحت الحمراء

متوسطة الشدة عند (1612 cm^{-1}) تعود إلى الإهتزاز الإتساعي للأصرة (C=C) الأليفاتية. عند العدد الموجي (1525 cm^{-1}) ظهرت حزمة ضعيفة متعددة تعود إلى الإهتزاز الإتساعي لمجموعة (C=C) الأروماتية. كما ظهرت حزمة قوية الشدة عند (1210 cm^{-1}) و العائدة إلى الإهتزاز الإتساعي لمجموعة (C-O) الكربوكسيلية الحامضية و أيضاً ظهرت حزمة ضعيفة عند العدد الموجي (765) (cm^{-1}) تعود إلى الإهتزاز الإنحنائي لمجموعة (=C-H) الأليفاتية [25]

يوضح الشكل (4) و الجدول (7) حزم الإمتصاص لطيف الأشعة تحت الحمراء للمركب الفينولي A* إذ ظهرت حزمة عريضة و قوية عند العدد الموجي (3396 cm^{-1}) تعود إلى الإهتزاز الإتساعي لمجموعة الهيدروكسيل الفينولية ذات التآصر الهيدروجيني و حزمة ضعيفة جداً عند العدد الموجي (3010 cm^{-1}) تعود إلى الإهتزاز الإتساعي لمجموعة (C-H) الأروماتية أو الألكينية، و ظهور حزمة قوية عند (1706 cm^{-1}) تعود إلى الإهتزاز الإتساعي لمجموعة (C=O) الكربوكسيلية و أيضاً وجود حزمة



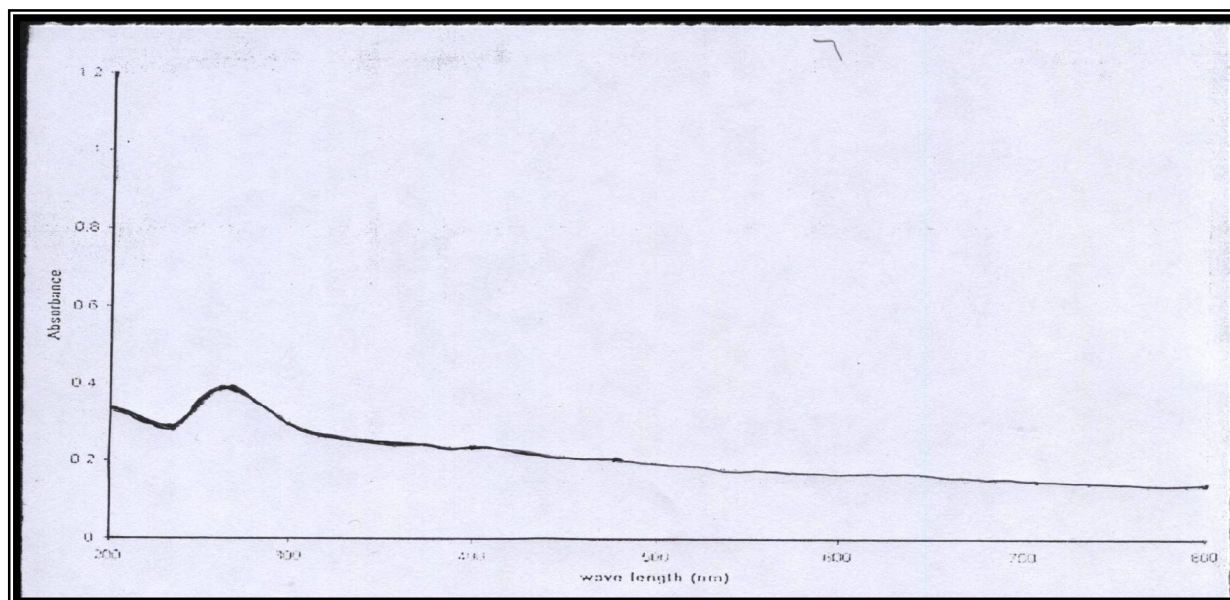
شكل(4)طيف الاشعة تحت الحمراء للمركب الفينولي A*

جدول (7) حزم الإمتصاص و المجاميع التركيبية في طيف الأشعة تحت الحمراء للمركب الفينولي A*

المجموعة الفعالة	نوع الإهتزاز	المجموعة التركيبية	شكل الحزمة	العدد الموجي (cm ⁻¹)
الهيدروكسيل الفينولية	إتساعي	O-H	عريضة و قوية	3396
أروماتية أو ألكينية	إتساعي	C-H	ضعيفة جداً	3010
الكاربوكسيل	إتساعي	C=O	قوية	1706
أليفاتية	إتساعي	C=C	متوسطة	1612
أروماتية	إتساعي	C=C	ضعيفة و متعددة	1525
الكاربوكسيل	إتساعي	C-O	قوية	1210
أليفاتية	إنحنائي	=C-H	ضعيفة	765

تشخيص المركب الفينولي B* بمطيافية الأشعة فوق البنفسجية و المرئية

يوضح الشكل (5) طيف الأشعة فوق البنفسجية و المرئية للمركب الفينولي B* و لمدى من الأطوال الموجية (200 – 800 nm) إذ ظهرت قمة واحدة ضعيفة الشدة عند الطول الموجي (272 nm) و يعزى ظهورها إلى الإنتقال الإلكتروني من نوع (π^* - π) العائدة لألكترونات π في الحلقة الأروماتية [25]



شكل (5) طيف الأشعة فوق البنفسجية و المرئية (UV – Vis) للمركب الفينولي B*

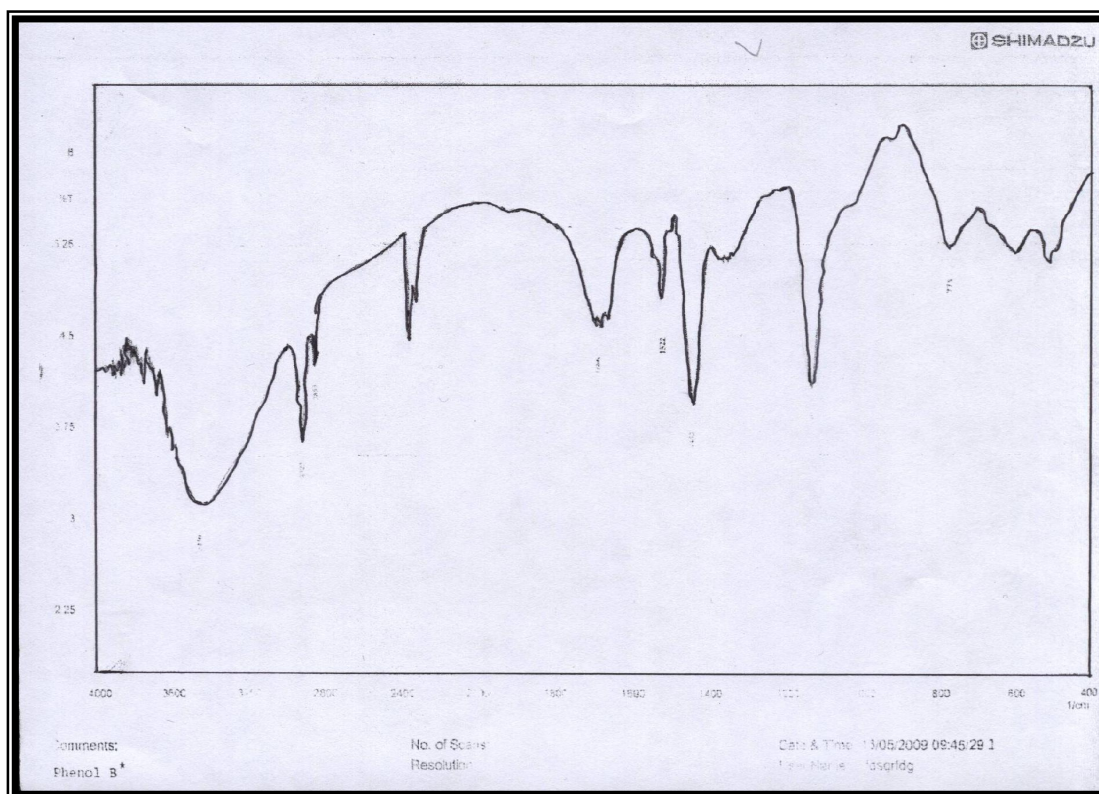
تشخيص المركب الفينولي B* بمطيافية الأشعة تحت الحمراء

يبين الشكل (6) و الجدول (8) حزم الإمتصاص و المجاميع التركيبية العائدة لها في طيف الأشعة تحت الحمراء للمركب الفينولي B*. إن ظهور حزمة عريضة و قوية عند العدد الموجي (3450 cm⁻¹) تعود إلى الإهتزاز الإتساعي لمجموعة الهيدروكسيل الفينولية ذات التآصر الهيدروجيني كما يتضح من الجدول و الشكل ظهور حزمة إمتصاص ضعيفة جداً عند العدد الموجي (3010 cm⁻¹) تعود إلى الإهتزاز الإتساعي لمجموعة (C-H) الأروماتية أو الألكينية، كما ظهرت حزمتان قويتان متباينتا الشدة عند العددين الموجيين (2923 cm⁻¹ و 2853 cm⁻¹) تعودان إلى الإهتزاز الإتساعي المتماثل و غير المتماثل لمجموعة

يبين الشكل (6) و الجدول (8) حزم الإمتصاص و المجاميع التركيبية العائدة لها في طيف الأشعة تحت الحمراء للمركب الفينولي B*. إن ظهور حزمة عريضة و قوية عند العدد الموجي (3450 cm⁻¹) تعود إلى الإهتزاز الإتساعي لمجموعة الهيدروكسيل الفينولية ذات التآصر الهيدروجيني كما يتضح من

(CH₂) الأليفاتية كما ظهرت حزمة إمتصاص متوسطة عند العدد الموجي (1149 cm⁻¹) تعود إلى الإهتزاز الإتساعي لمجموعة (C-O) الإثيرية و أيضاً ظهرت حزمة إمتصاص ضعيفة عند العدد الموجي (775 cm⁻¹) و العائدة إلى الإهتزاز الإنحنائي لمجموعة (=C-H) الأليفاتية [25].

CH₂ الأليفاتية ، و أيضاً وجود حزمة إمتصاص ضعيفة و متعددة عند (1686 cm⁻¹) عائدة إلى الإهتزاز الإنحنائي للأصرة (C=C) الأليفاتية في حين ظهرت حزمة إمتصاص ضعيفة عند العدد الموجي (1522 cm⁻¹) تعود إلى الإهتزاز الإتساعي لمجموعة (C=C) الأروماتية، و حزمة إمتصاص متوسطة عند (1452 cm⁻¹) و العائدة إلى الإتساع الإنحنائي لمجموعة



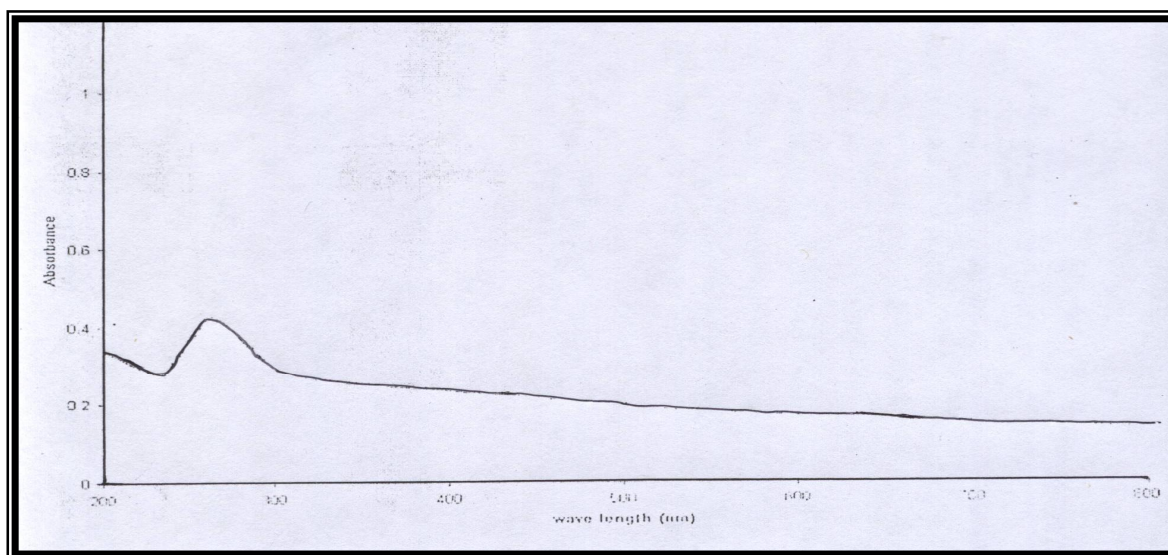
شكل (6) طيف الأشعة تحت الحمراء (IR) للمركب الفينولي B*

جدول (8) حزم الإمتصاص و المجاميع التركيبية في طيف الأشعة تحت الحمراء للمركب الفينولي B*

العدد الموجي (cm ⁻¹)	شكل الحزمة	المجموعة التركيبية	نوع الإهتزاز	المجموعة الفعالة
3450	عريضة و قوية	O-H	إتساعي	الهيدروكسيل الفينولية
3010	ضعيفة جداً	C-H	إتساعي	أروماتية أو ألكينية
2923	قوية	CH ₂	إتساعي غير متماثل	أليفاتية
2853	متوسطة الشدة	CH ₂	إتساعي متماثل	أليفاتية
1686	ضعيفة	C=C	إتساعي	أليفاتية
1522	ضعيفة	C=C	إتساعي	أروماتية
1452	متوسطة	CH ₂	إنحنائي	أليفاتية
1149	متوسطة	C-O	إتساعي	إثيرية
775	ضعيفة	=C-H	إنحنائي	أليفاتية

تشخيص المركب الفينولي C* بمطيافية الأشعة فوق البنفسجية و المرئية

يبين الشكل (7) طيف الأشعة فوق البنفسجية و المرئية للمركب الفينولي C* و لمدى من الأطوال الموجية (200 – 800 nm) إذ ظهرت قمة ضعيفة الشدة عند الطول الموجي (270 nm) و التي تعزى إلى الإنتقال الإلكتروني من نوع ($\pi-\pi^*$) العائدة لألكترونات π في الحلقة الأروماتية [25]

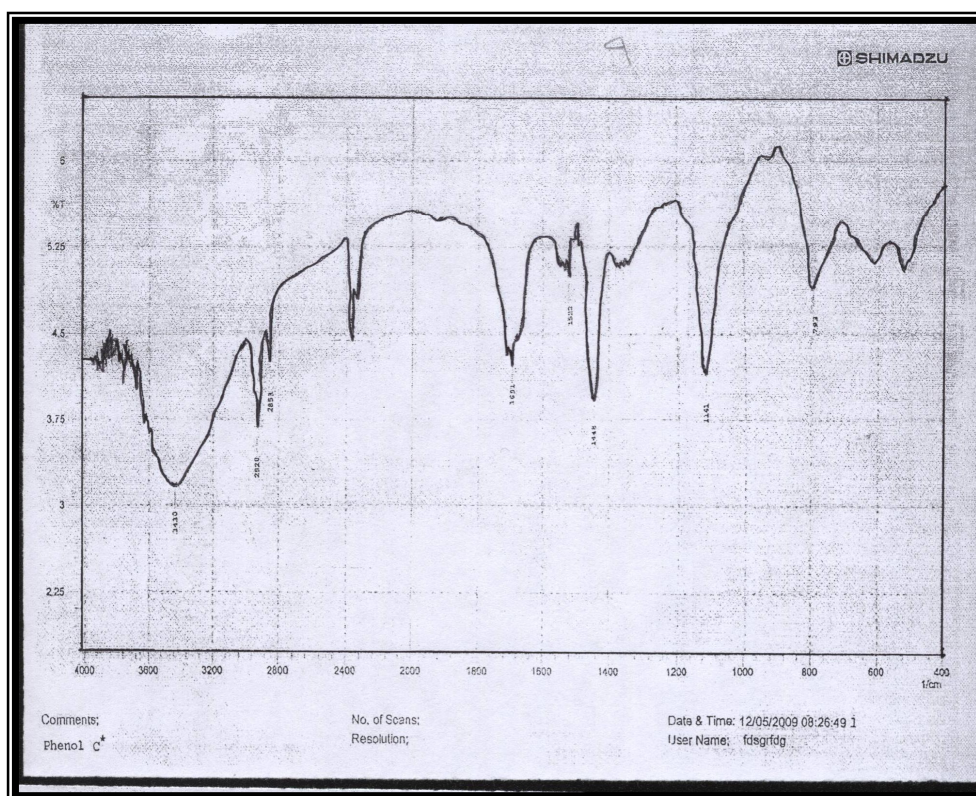


شكل (7) طيف الأشعة فوق البنفسجية و المرئية (UV – Vis) للمركب الفينولي C*

تشخيص المركب الفينولي C* بمطيافية الأشعة تحت الحمراء

يشير الشكل (8) و الجدول (9) إلى طيف (IR) للمركب الفينولي C*. إذ ظهرت حزمة إمتصاص عريضة و قوية عند (3430 cm^{-1}) تعود إلى الإهتزاز الإتساعي لمجموعة الهيدروكسيل الفينولي— ذات التآصر الهيدروجيني و ظهور حزمتي إمتصاص قويتين عند (2920 cm^{-1} و 2853 cm^{-1}) و اللتين تعودان إلى الإهتزاز الإتساعي المتمائل و غير المتمائل على التوالي لمجموعة (CH_2) الأليفاتية. عند (3010 cm^{-1}) ظهرت حزمة إمتصاص ضعيفة جداً تعود إلى الإهتزاز الإتساعي لمجموعة (C-H) الأروماتية أو الألكينية، كما ظهرت حزمة إمتصاص ضعيفة عند (1691 cm^{-1}) و العائدة لمجموعة (C=C) الأليفاتية ذات الإهتزاز الإتساعي، في حين ظهرت حزمة إمتصاص ضعيفة عند (1522 cm^{-1}) تعود إلى مجموعة (C=C) الأروماتية. عند (1448 cm^{-1}) ظهرت حزمة إمتصاص متوسطة الشدة عائدة إلى الإهتزاز الإنحنائي لمجموعة (CH_2) الأليفاتية. و ظهرت حزمة إمتصاص متوسطة الشدة عند (1141 cm^{-1}) و التي تعود إلى الإهتزاز الإتساعي لمجموعة (C-O) الإثيرية و حزمة إمتصاص ضعيفة عند (793 cm^{-1}) لمجموعة (=C-H) الأليفاتية [25].

يشير الشكل (8) و الجدول (9) إلى طيف (IR) للمركب الفينولي C*. إذ ظهرت حزمة إمتصاص عريضة و قوية عند (3430 cm^{-1}) تعود إلى الإهتزاز الإتساعي لمجموعة الهيدروكسيل الفينولي— ذات التآصر الهيدروجيني و ظهور حزمتي إمتصاص قويتين عند (2920 cm^{-1} و 2853 cm^{-1}) و اللتين تعودان إلى الإهتزاز الإتساعي المتمائل و غير المتمائل على التوالي لمجموعة (CH_2) الأليفاتية. عند (3010 cm^{-1}) ظهرت حزمة إمتصاص ضعيفة جداً تعود إلى الإهتزاز الإتساعي لمجموعة (C-H) الأروماتية أو الألكينية، كما ظهرت حزمة إمتصاص



شكل (8) طيف الأشعة تحت الحمراء (IR) للمركب الفينولي C*

جدول (9) حزم الإمتصاص و المجاميع التركيبية في طيف الأشعة تحت الحمراء للمركب الفينولي C*

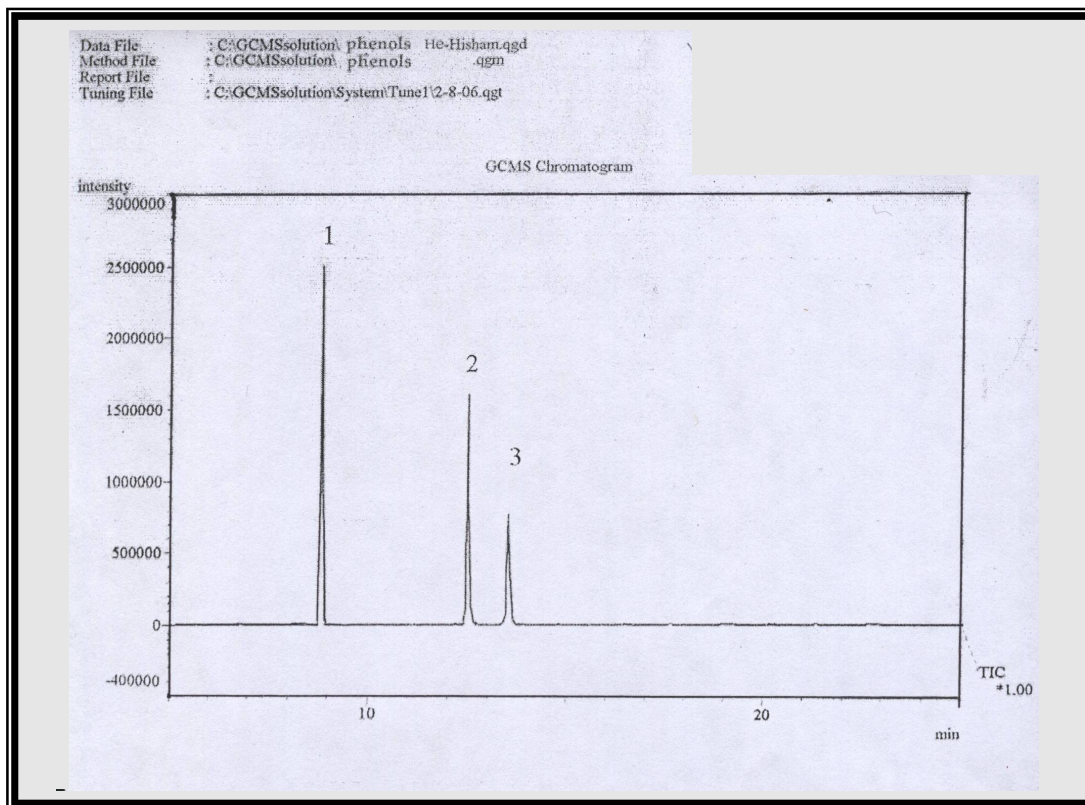
المجموعة الفعالة	نوع الإهتزاز	المجموعة التركيبية	شكل الحزمة	العدد الموجي (cm ⁻¹)
الهيدروكسيل الفينولية	إتساعي	O-H	عريضة و قوية	3430
أروماتية أو ألكينية	إتساعي	C-H	ضعيفة جداً	3010
أليفاتية	إتساعي غير متماثل	CH ₂	قوية	2920
أليفاتية	إتساعي متماثل	CH ₂	متوسطة	2853
أليفاتية	إتساعي	C=C	ضعيفة	1691
أروماتية	إتساعي	C=C	ضعيفة	1522
أليفاتية	إنحنائي	CH ₂	متوسطة	1448
إيثرية	إتساعي	C-O	متوسطة	1141
أليفاتية	إنحنائي	=C-H	ضعيفة	793

فصل و تشخيص المركبات الفينولية بتقنية كروماتوغرافيا الغاز - طيف الكتلة (GC-Mass)

فصل المركبات الفينولية بتقنية كروماتوغرافيا الغاز

دقيقة للمركب الفينولي A* و 12.483 دقيقة للمركب الفينولي B* و 13.543 دقيقة للمركب الفينولي C*. إن طبيعة الفصل لهذه المركبات الفينولية قد تم بظروف خاصة و قياسية مثل نوعية الغاز و قياس الأنسب والشعري و نوعية الطور الثابت و معدل جريان الغاز و درجة الحرارة [26].

يبين الشكل (9) كروماتوغرام المركبات الفينولية التي تم عزلها من ثمار نبات الخرنوب و التي فصلت بتقنية كروماتوغرافيا الغاز Gas chromatography على شكل قمم ، إذ ظهرت ثلاث قمم أي وجود ثلاثة مركبات فينولية و كل قمة تمثل مركب فينولي مفصول و بأزمان إحتباس هي 7.812



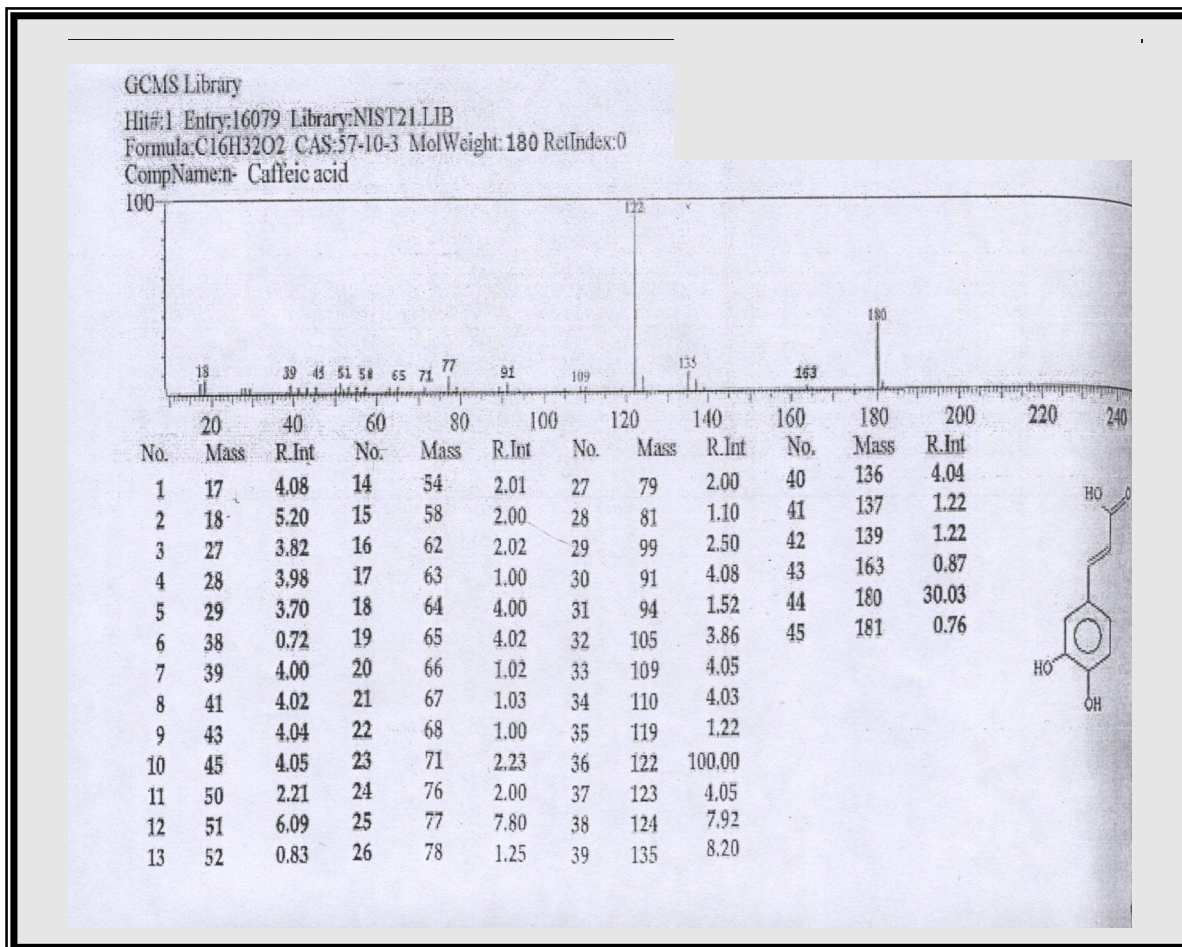
شكل (9) كروماتوغرام المركبات الفينولية (A*, B*, C*) المفصولة بتقنية كروماتوغرافيا الغاز

نتائج أطياف الكتلة للمركبات الفينولية المفصولة بتقنية كروماتوغرافيا الغاز

طيف الكتلة للمركب الفينولي A*

الفينولي هو حامض الكافاينيك Caffeic acid (3، 4-ثنائي هيدروكسي حامض السيناميك) كما موضح تركيبه الكيميائي الموجود في طيف الكتلة العائد لهذا المركب.

بين الشكل (10) طيف الكتلة للمركب الفينولي A* و الذي تم فصله بتقنية كروماتوغرافيا الغاز بزمن احتباس 7.812 دقيقة و من خلال مطابقة هذا المركب مع قاعدة المعلومات حاسوبياً في جهاز (GC- mass spectrophotometer) ، تبين بأن هذا المركب

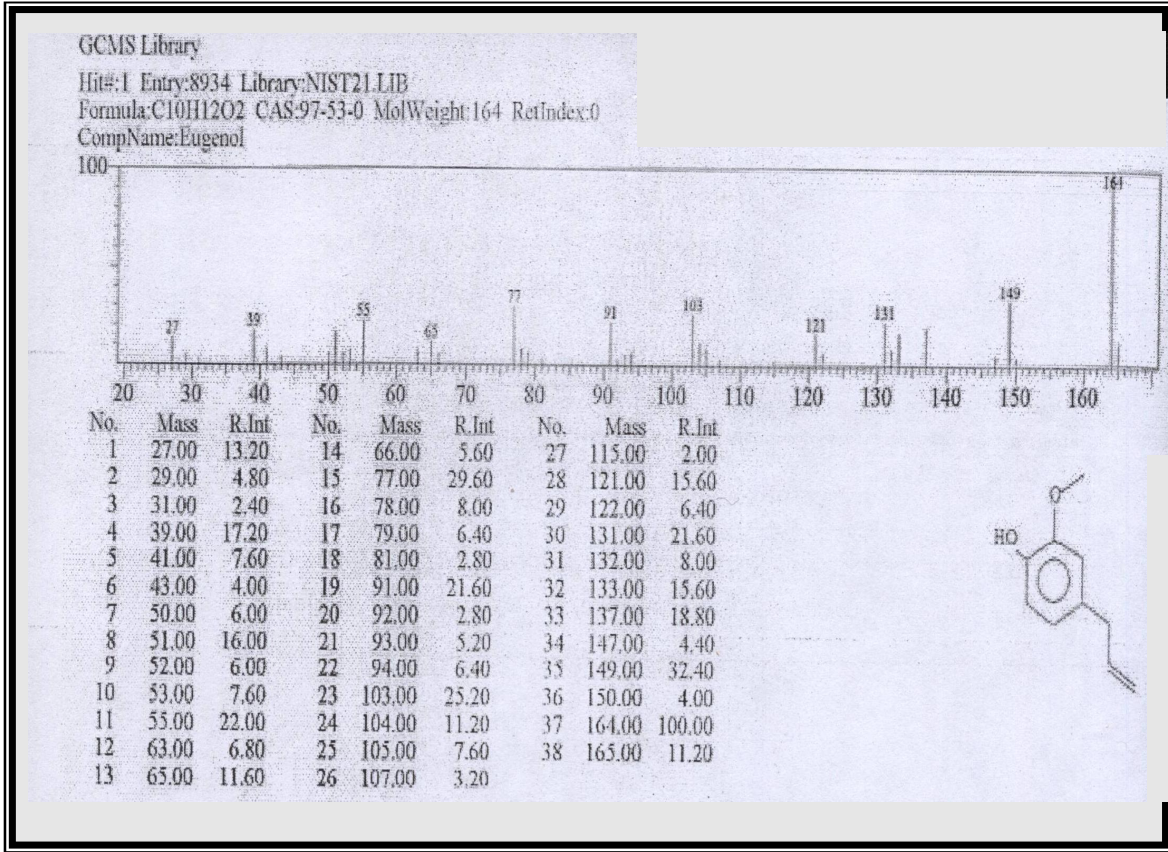


شكل (10) طيف الكتلة لحامض الكافانيك المعزول من ثمار نبات الخرنوب مع تركيبه الكيميائي

طيف الكتلة للمركب الفينولي B*

يبين الشكل (11) طيف الكتلة للمركب الفينولي B* الذي فصل بتقنية كروماتوغرافيا الغاز بزمان إحتباس هو 12.483 دقيقة و من خلال مطابقة هذا المركب مع قاعدة المعلومات حاسوبياً في جهاز GC-

mass spectrophotometer) ثبت أن هذا المركب الفينولي هو يوجينول (Eugenol) و الموضح تركيبه الكيميائي في طيف الكتلة العائد لهذا المركب.

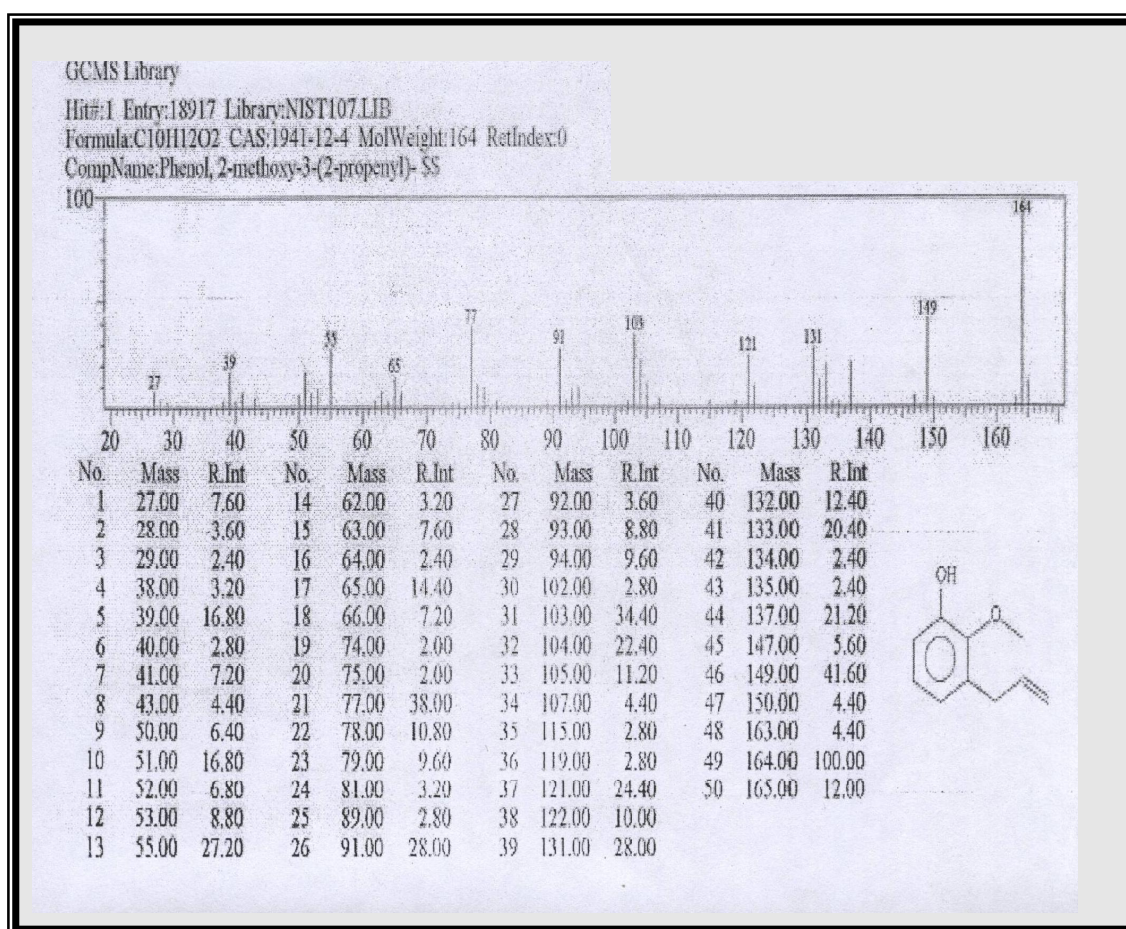


شكل (11) طيف الكتلة للمركب الفينولي يوجينول المعزول من ثمار نبات الخرنوب مع تركيبه الكيميائي

طيف الكتلة للمركب الفينولي C*

مطابقة هذا المركب الفينولي مع قاعدة المعلومات حاسوبياً في جهاز طيف الكتلة، كما موضح التركيب الكيميائي لهذا المركب و المسجل في طيف الكتلة العائد له.

يبين الشكل (12) طيف الكتلة للمركب الفينولي C* الذي تم فصله بتقنية كروماتوغرافيا الغاز بزمن إحتباس 13.543 دقيقة و قد ثبت أن هذا المركب هو فينول - 2-ميثوكسي-3-(2-بروبينيل) و ذلك من خلال



شكل (12) طيف الكتلة للمركب الفينولي فينول - 2 - ميثوكسي - 3 - (2 - بروبينيل) المعزول من ثمار نبات الخرنوب مع تركيبه الكيميائي

الفعالية الدوائية لمركبات حامض الكافائيك و يوجينول و فينول - 2 - ميثوكسي - 3 - (2 - بروبينيل) المعزولة من

ثمار نبات الخرنوب ضد البكتريا المرضية للمجري البولية

أما المركب الفينولي يوجينول فكان له تأثير دوائي تثبيطي ضد بكتريا *Staphylococcus aureus* و *Escherichia coli* و *Pseudomonas aeruginosa* و *Kelbsiella sp.* و *Proteus sp.* و بتثبيط هي (19 و 17 و 15 و 10 و 7 ملم) على التوالي.

و لقد أكدت بعض الدراسات أن اليوجينول له فعالية عالية ضد بكتريا *Klebsiella sp.* و *Enterobacter* المعزولة من أشخاص مصابين بأمراض متنوعة [28]، [29]. و فيما يخص المركب فينول - 2 - ميثوكسي - 3 - (2 - بروبينيل) فقد سجلت له فعالية دوائية تثبيطية ضد

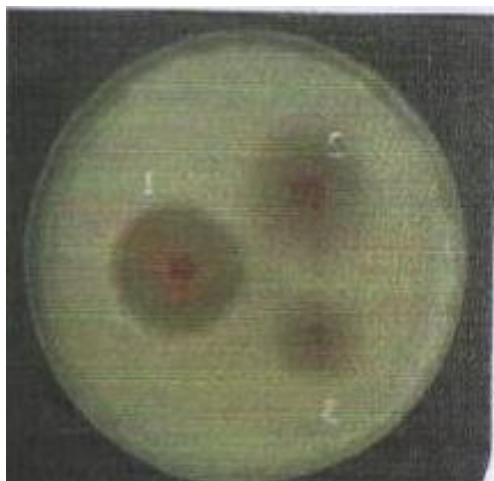
يوضح الجدول (10) و الشكل (13) أن المركب الفينولي حامض الكافائيك قد أظهر قدرة تثبيطية ضد بكتريا *Staphylococcus aureus* و *Pseudomonas aeruginosa* و *Escherichia coli* و *Kelbsiella sp.* و بأقطار تثبيط هي (22 و 18 و 14 و 9 ملم) على التوالي و لم يظهر أي فعالية تثبيطية ضد بكتريا *Proteus sp.* يتميز حامض الكافائيك بأن له قدرة تثبيطية دوائية عالية و ذلك لإحتوائه على نوعين من المجموع الفعالة و هما حامض الأكريليك و مجموعتي الهيدروكسيل المرتبطة بالحلقة الأروماتية [27].

بكتريــــــــــــا *Pseudomonas aeruginosa* و 12 و 10 ملم) على التوالي في حين لم يظهر أي فعالية
 ضد بكتريا *Klebsiella sp.* و *Proteus sp.* و *Staphylococcus aureus*
 و *Escherichia coli* و بأقطار تثبيط هي (13 و 20 و

جدول (10) الفعالية الدوائية لمركبات حامض الكافاينك و يوجينول و فينول- 2- ميثوكسي - 3 - (2-بروبينيل) بتركيز (150 mg/ml)
 ضد البكتريا المرضية للمجري البولية

البكتريا المركبات الفينولية المعزولة	أقطار منطقة التثبيط (mm)				
	<i>Staph. aureus</i>	<i>E. coli</i>	<i>P. aeruginosa</i>	<i>Klebsiella sp.</i>	<i>Proteus sp.</i>
حامض الكافاينك	22	18	14	9	-
يوجينول	19	17	15	10	7
فينول- 2- ميثوكسي - 3 - (2-بروبينيل)	13	10	20	-	12

Escherichia coli



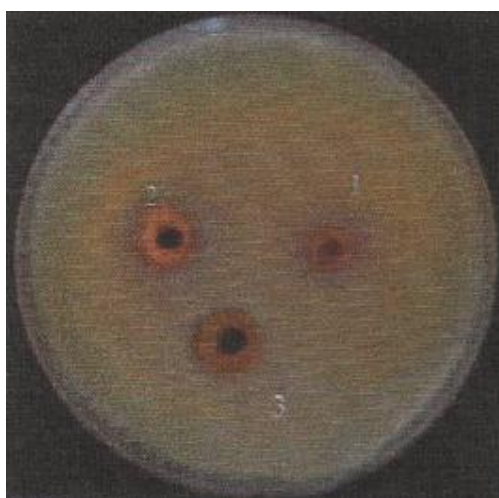
Staphylococcus aureus



Klebsiella sp.



Proteus sp.



Pseudomonas aeruginosa

شكل (13) الفعالية الدوائية ل1) حامض الكافاينك ، 2) يوجينول ،
 3) فينول- 2- ميثوكسي - 3 - (2-بروبينيل) ضد البكتريا المرضية للمجري البولية

الإستنتاجات

بين المركبات الفينولية الثلاث أعطاهها فعالية تثبيطية أعلى من كل مركب فينولي معزول كما اثبتت الدراسة عدم وجود تأثيرات جانبية للمركبات الفينولية مجتمعة أو منفردة اذ ان ليس لها أية سمية مما يجعل إستعمالها كأدوية آمنة لجسم الكائن البشري.

ان المركبات الفينولية المعزولة من ثمار نبات الخرنوب اثبتت ان لها فعالية دوائية عالية اذ أنها قامت بقتل البكتريا المرضية المسببة لإلتهابات المجاري البولية و بالإمكان إستعمال كل مركب فينولي معزول كدواء لعلاج إلتهابات المجاري البولية كما ان التداخل التآزري

References

- 1- H. L. Mobley and R. Belas (1995). Swarming and pathogenicity of *Proteus mirabilis* in the urinary tracts. New York, USA. P.851.
- 2- G. M. Fraser. and C. Hughes (1999). Swarming motility. Curr. Opin. Microbiol., 2: 630 – 635.
- 3- J. Semihayan and M. Gazi, (1999). Effect of preputial flora to urinary tract infection. Medical Journal, 10: 68 – 72.
- 4- M. H. Kolf and V. J. Fraser. (2001). Antibiotic resistance in intensive care unit. J. Ann. Int. Med., 134: 298 – 314.
- 5- J. Ortez,.; C. Vilam,.; G. Sariano,.; J. Minana, and B. Myrlis, (1999). Infection caused by *Escherichia coli* resistance to norhipatolo in hospitalized cirrhotic patients. App. J., 99: 1065 – 1069.
- 6- D. Daley,.; L. Mulgrave,.; S. Neville,.; H. Smith, and W. Dimech, (1996). An evaluation of the *In vitro* activity of piperacilli. Tazobacta. Med. Path., 28: 167 – 172.
- 7- NIH (National Institute of Health) (2004). The problem of antibiotic resistance, NIH. Bethesda, MD. USA, P. 15.
- 8- E. Al-Camo, (1996). Chemotherapeutic action against antibiotic fund-amental of microbiology. 5th ed., Adilson Longman. Inc., USA. P. 339 – 720.
- 9- K. E. Lasser,.; P. D. Allen,.; S. J. Woolhandler,.; D. U. Himmastein,.; S. M. Wolfe, and D. H. Bor, (2002). Timing for new black box warnings and withdrawals for prescription medication. 287: 2215 – 2220.
- 10- K. Brandt, and J. P. Malgaurd, (2001). Organic agriculture: Dose it enhance or reduce the nutrition value of plant foods. J. Sci. Food Agri., 8: 924 – 931.
- 11- F. Afifi, (1993). Hypoglycemia effects of prospis farcta. International Journal of Pharmacognosy. 31: 161 – 164.
- 12- A. Jawad,.; H. Jaffer,.; A. Al-Naib, and A. Naji, (1988). Antimicrobial activity of sesquiterpene lactone and alkaloid fractions from Iraqi plants. International Journal of Crude Drug Research, 26: 185 – 195.
- 13- S. M. Al-Khazraji, (1991). Biopharmacological study *Artemisia herba alba*. M. Sc. Theses, Pharm. College, Baghdad University, Iraq.
- 14- B. Freid, and J. Sherman, (1985). Thin layer chromatography techniques and applications. Chromatog. Sci. Series, Vol. 30, Marel dekker Inc., New York, USA.
- 15- S. Back, and J. Liag, (2005). Production of cyanophycin from blue – green algae. J. Yong Invest., 13: 56 – 62.
- 16- C. Perez,.; M. Pauli, and P. Bazerque, (1990). An antibiotic assay by the agar – well diffusion method. J. Aotablogia, 15: 113 – 115.
- 17- NCCLS (National Committee for Clinical Laboratory Standard). (2002). Methods for dilution antimicrobial susceptibility tests of bacteria that grow aerobically. In Approved Standard M100 – 512. Wayne.
- 18- H. Xian-Guo, and M. Ursula, (1994). Antifungal compounds from *Solanum nigrescens*. J. Ethnopharmacol., 43: 173 – 177.
- 19- F. Harzalla, and H. Ben Jannet, (2005). Flavonoids diversification in organs *Prosopis farcta* populations occurring in the

- northeast and southeast Tunisia. Journal of Applied Science Research, 2: 130 – 136.
- 20- P. Feeny, (1998). Inhibition effect of oak leaf tannins hydrolysis proteins by trypsin. Journal Phytochemistry, 8: 2119 – 2126.
- 21- J. D. Reed, (1995). Nutritional toxicology of tannins and related polyphenols in forage legmens. J. Animal Soc., 73: 3 – 28.
- 22- WHO (1996). Supplementary guidelines for the manufacture of herbal medicinal product. WHO tech. Repser, Geneva. Annex 8, p. 109 – 113.
- 23- J. Sapana,; R. Archna,; D. Prem,; K. Rita, and K. Anil, (2009). Synergistic interaction between synthetic and natural products. World Applied Sciences J., 5: 59 – 63.
- 24- B. Galmbosi,; K. P. Svoboda,; J. B. Hampson, and Y. Askawa, (1999). Agronomical and phytochemical investigations of pyenon themum officinalis. Agri. Sci., 12: 259 – 262.
- 25- R. M. Silverstein,; G. C. Bassler, and T. C. Morrill, (1981). Spectrometric identification of organic compounds. 4th ed., John Wiley and sons Fuc., USA.
- 26- M. L. Vincent, and D. G. Peters, (1992). Journal of Electroanalytical Chemistry Interfacial Electrochemistry, 327: 121 – 135.
- 27- P. C. Hollman, and M. P. Katan, (2001). Chlorogenic acid and caffeic acids are absorbed in human, J. Nutr., 131 (1): 66 – 71.
- 28- P. Suresh,; V. K. Ingle, and V. Vijaya Lakshimi, (1992). Antibacterial activity of eugenol in comparison with other antibiotics. J. Fd. Sci. Tech., 29: 254 – 256.
- 29- N. S. Shashidar, (2002). Studies on bioactive natural compounds for their antimicrobial and antioxidant properties. In Ph. D. Thesis, Department of Microbiology, Osmania University, Hyderabad, Pakistan.

Isolation and Identification of Phenol -2- methoxy-3-(2-propenyl) ,Eugenol and Caffeic Acid Compounds from *Prosopis farcta* Fruits and Study of Their Activity as Drugs Against Pathogenic Bacteria of Urinary Tracts

Abbas Dawwas Matter Al-Maliki Nezar Latif Shihab Al-Deen
Husham Mnahi Talib Al- Ryhani
Chemistry dept.-Education college-University of Basrah
Basrah-Iraq

Abstract

propenyl) were isolated and identified from *Prosopis farcta* fruits . The is recommended to use the phenolic compounds as herbal therapeutic substituents for treatment of urinary tracts infections instead of antibiotics physical and chemical methods were used in identification such as UV-vissible and infrared spectra , thin layer chromatography , column chromatography , fanchional groups test, gas-chromatography-mass spectrum and melting point . The medicinal The phenolic compounds (caffeic acid,eugenol and phenol -2- methoxy -3-(2-activity for compounds isolated with concentration (150 mg / ml) , were studied against five types of pathogenic bacteria of urinary tracts infections, are *Escherichia coli* , *Staphylococcus aureus* , *Proteus sp.* , *Klebsiella sp.* and *Pseudomonas aeraginosa* . The minimal inhibitory concentration and cellular toxicity of these compounds , were determined , also the medicinal activity of isolated phenolic compounds , was compared with some antibiotics such as ampicillin , cephlaxin , ciprofloxacin , streptomycin and tetracycline . The phenolic compounds showed that they have a highest medicinal effect for inhibition of bacteria growth than antibiotics . It was found that isolated compounds have no a toxic effect against red blood cells of human . As a result , it is recommended to use the phenolic compounds as herbal therapeutic substituents for treatment of urinary tracts infections instead of antibiotics having side effects but this work demands further clinical and pharmaceutical studies .

Keywords : *Prosopis farcta* , caffeic acid , phenol-2- methoxy-3- (2- propenyl) , eugenol, medicinal activity , pathogenic bacteria , urinary tracts infections